



دکتر محمود خسروی<sup>۱</sup>

دکتر سعید جهانبخش اصل<sup>۲</sup>

جعفر درخشی<sup>۳</sup>

## برآورد و پنهانندی تابش خورشیدی در سطح افقی با استفاده از پارامترهای اقلیمی در محیط GIS مطالعه‌موردی: استان آذربایجان شرقی

تاریخ دریافت مقاله: ۱۳۹۰/۰۱/۲۱ تاریخ پذیرش مقاله: ۹۰/۱۰/۱۴

### چکیده

تابش خورشید رسیده به زمین به عنوان یکی از عوامل مورد نیاز برای مطالعات منابع آب، محیط زیست، کشاورزی و پوشش‌های نباتی، معماری همساز با اقلیم، طراحی سیستم‌های استفاده از انرژی‌های پاک و موارد متعدد دیگر، کاربرد گسترده‌ای دارد. این عامل در تمام ایستگاه‌های هواشناسی اندازه‌گیری نمی‌شود و از این رو روش‌های تجربی زیادی برای برآورد آن با استفاده از پارامترهای هواشناسی، نجومی و جغرافیایی ارائه شده است. هدف از این مطالعه برآورد میزان تابش کل رسیده به سطح افقی با استفاده از عناصر اقلیمی (کمینه، بیشینه و میانگین دما، کمینه رطوبت، ابرناکی آسمان و ساعات آفتابی) و پنهانندی آن در گستره استان آذربایجان شرقی می‌باشد. بدین منظور از داده‌های ماهانه تابش خورشید اندازه‌گیری شده در ایستگاه تبریز طی سال‌های ۲۰۰۱ تا ۲۰۰۶ برای مدل سازی و برای برآورد میزان تابش هم از داده‌های اقلیمی ۶ ایستگاه سینوپتیک در سطح استان طی سال‌های ۱۹۸۷ تا ۲۰۰۷ استفاده شد. با به دست آوردن ضرایب رگرسیون چند متغیره به آزمون صحت مدل و بررسی خطاهای آن پرداخته شد. پس از اطمینان از صحت مدل، لایه‌های مورد نیاز در محیط GIS ایجاد و با اعمال ضرایب مدل رگرسیون در لایه‌های ایجاد شده، میزان تابش کل رسیده به سطوح افقی در سطح استان مورد محاسبه قرار گرفت. با توجه به

E-mail: Khosravi@hamoon.usb.ac.ir

E-mail: S-jahan@tabrizu.ac.ir

E-mail: J\_derakhshi60@yahoo.com

۱- دانشیار گروه جغرافیای طبیعی دانشگاه سیستان و بلوچستان

۲- استاد گروه جغرافیای طبیعی دانشگاه تبریز

۳- کارشناس ارشد اقیم شناسی دانشگاه سیستان و بلوچستان

نقشه‌های توزیع تابش ماهانه در سطح استان، الگوی تابش در استان به چهار مقطع زمانی، فصل زمستان، بهار، تابستان و پاییز تقسیم گردید. نتایج نشان داد که کمترین میزان تابش مربوط به ماه ژانویه و بیشترین میزان آن مربوط به ماه ژوئن می‌باشد. توزیع تابش سالانه استان از جنوب غربی به شمال و شمال شرقی روند کاهشی نشان می‌دهد. میانگین تابش سالانه در استان، ۴۲۴۴ وات بر متر مربع در روز برآورد گردید. دامنه تغییرات تابش سالانه استان ۴۳ وات بر متر مربع در روز و ضریب تغییر پذیری مکانی آن ۲ درصد می‌باشد.

**کلید واژه‌ها:** تابش خورشیدی، پهنه بندي، عناصر اقلیمي، سامانه اطلاعات جغرافیایی، آذربایجان شرقی.

#### مقدمه

بشر از دیرباز با به کارگیری انرژی‌های فراوان و در دسترس طبیعت، در پی گشودن دریچه‌ای تازه به روی خویش بود تا از این رهگذار، بتواند افزون بر آسانتر کردن کارها، فعالیت‌های خود را با کمترین هزینه و بالاترین سرعت به انجام رساند و گامی برای آسایش بیشتر بردارد. نخستین انرژی به کار رفته توسط بشر، انرژی خورشید بود. امروزه عوامل بسیاری از جمله گسترش فزاینده‌ی نیاز به انرژی، محدودیت منابع فسیلی، فاجعه‌ی آلودگی زیست محیطی ناشی از سوخت مواد فسیلی، گرم شدن هوا و اثر گلخانه‌ای و بسیاری از دیگر عوامل، سبب رویکرد دوباره‌ی علم به انرژی‌های تجدیدپذیر طبیعی شده؛ با این تفاوت که پیشرفت علم و فناوری، فصلی تازه در به کارگیری و تبدیل و مهار این انرژی‌ها گشوده است. تابش خورشید منبع اصلی انرژی سیاره زمین و عامل اصلی کنترل حیات و آب و هوا در سطح زمین به شمار می‌آید و تمام پدیده‌های روی زمین که در زندگی انسان مؤثر هستند در قلمرو مطالعه و تحقیق علم جغرافیا قرار می‌گیرند. پهنه بندي تابشی یکی از ابزارهای شناسایی بشر از ویژگی‌های نواحی اقلیمی است تا بتواند با برنامه ریزی مناسب با استفاده از این انرژی به توسعه پایدار برسد. افزایش روز افزون تقاضای انرژی، به کارگیری تمهیداتی جهت بهره برداری بهینه از منع سرشار انرژی خورشیدی در کشورمان امری ضروری به نظر می‌رسد. برنامه ریزی جهت بهره برداری بهینه از انرژی خورشیدی، نیازمند برآورد پتانسیل آن در مناطق مختلف کشور می‌باشد. در حال حاضر بیش از ۸۱ درصد از کل انرژی مصرفی جهان و بیش از ۹۵ درصد انرژی مصرفی در ایران را سوختهای فسیلی تامین می‌کنند. ادامه روند مصرف سوختهای فسیلی، علاوه بر تشدید آلودگی‌ها، آب و زمین، موجب تشدید گرمایش جهانی خواهد شد. بر اساس پیش‌بینی آژانس بین‌المللی انرژی تا سال ۲۰۲۵ مصرف انرژی کشورهای در حال توسعه ۱۰۰ درصد و شرق اروپا ۸۰ درصد افزایش خواهد یافت (مرادی، ۱۳۸۵).

برای برآورد انرژی تابشی خورشید در یک منطقه، مدل های ریاضی متعددی توسط پژوهشگران داخلی و خارجی پیشنهاد شده است که اکثر این مدل ها بر اساس آماره هواشناسی تدوین گردیده اند. آنگسترم اولین فیزیکدانی است که برای تخمین تشعشع کل، مدلی را به صورت  $QS/QO = A + B \cdot n/N$  ارائه داده که در آن  $QS$  تابش متوسطه روزانه در یافته از خورشید بر سطح افقی در سطح زمین،  $QO$  تابش متوسطه روزانه دریافتی از خورشید بر سطح افقی در بالای جو،  $n$  مدت متوسط تابش حقیقی آفتاب (بر حسب ساعت)،  $N$  طول حقیقی روز یا طول روز نجومی (بر حسب ساعت)،  $A$  و  $B$  ضرایب خط رگرسیون می باشند و به ثابت های آنگسترم معروف هستند. آنگسترم (۱۹۵۰-۱۹۶۱) <sup>۱</sup>. این مدل توسط پرسکات (۱۹۶۰-۱۹۶۴) <sup>۲</sup> و بعداً به وسیله پیچ (۱۹۶۴-۱۹۷۸) <sup>۳</sup> اصلاح گردید. دانشیار (۹۶-۱۹۷۸) <sup>۴</sup>، با استفاده از داده های هواشناسی و تشعشع سنگی تهران ضرایب ثابت موجود در مدل پالتريج را اصلاح و آن را برای ایران بخصوص برای شهرهای بزرگ ارائه و تعمیم داد. داگویی <sup>۵</sup> (۱۹۹۳: ۳۳۹-۳۵۷)، روش های مختلف محاسبه مولفه های پراکنده، مستقیم و بازتابی تابش در مناطق شیب دار و کوهستانی را بررسی نمود. او در محاسبات خود توپوگرافی ها و موانع جغرافیایی را در نظر گرفته و بر این نکته تاکید نموده که در صورتی که این عوارض در نظر گرفته نشود خطای زیادی ایجاد می شود. صمیمی <sup>۶</sup> (۱۹۹۴: ۴۰۱-۹)، با استفاده از یک اصول کلی مدلی را برای پیش بینی تابش خورشید در شهرهای ایران بر حسب ارتفاع ارائه داد. مقادیر پیش بینی شده در این مدل برآش خوبی با داده های اندازه گیری شده در یک دوره ۱۷ ساله در تهران و همچنین با دوره های کوتاه مدت سایر شهرها نشان داد. الیس <sup>۷</sup> و همکاران (۱۹۹۵-۱۹۹۵: ۴۸۵-۴۷۵)، مدلی را برای محاسبه تابش خورشید روی توپوگرافی ها و پنهانه بندی تابش خورشید ارائه کردند. سوزن <sup>۸</sup> و همکاران (۲۰۰۴) در مقاله ای، پتانسیل تابش خورشیدی در ترکیه را به وسیله شبکه های عصبی مصنوعی برآورد کردند. آنان در مطالعه خود از داده های هواشناسی و جغرافیایی (طول و عرض جغرافیایی، ارتفاع، ماه، میانگین ساعت آفتابی و میانگین دما) ۱۷ ایستگاه ترکیه به مدت سه سال برای ورودی مدل خود بهره گرفتند. ال - صبابی و ترابیا <sup>۹</sup> (۲۰۰۵) در پژوهشی میزان تابش خورشید در سطح افقی را برای مصر به دست آوردند. آنان پنج نقطه از مصر که دارای شرایط اقلیمی متفاوت داشتند و سه تا از این نقاط در شمال و یکی در مرکز و پنجمی هم در جنوب مصر قرار داشت انتخاب کردند. با استفاده از مدل های

1 - Angstrom

2 - Prescott

3 - Page

4 - Daneshyar

5 - Duguay

6 - Samimi

7- Olseth

8 - Sozen

9 - El - Sebaii and Trabea

درجه اول، دوم و سوم آنگسترم برای هر یک از نقاط، میزان تابش خورشید را برآورد کردند و به این نتیجه رسیدند که روابط دوم و سوم آنگسترم از دقت تخمین بیشتری برای مصر برخوردار نبوده، ولی رابطه اول را برای برآورد تابش خورشید پیشنهاد و آن را برای سایر نقاط مصر معرفی کردند. آلن<sup>۱</sup> و همکاران (۵۵-۷۳: ۲۰۰۶) در پژوهشی جهت برآورد تابش خورشید در روی دامنه‌ها و سطوح شیب دار مدلی را ارائه کردند که در آن از پارامترهای هواشناسی از قبیل رطوبت نسبی و دمای هوا استفاده کرده و به نتایج قابل توجهی دست یافتند از جمله این که مقادیر برآورد شده توسط مدل با مقادیر اندازه گیری شده در زوایای مختلف برای هر دو مکان مورد مطالعه در شرایط آسمان صاف در طول تمام سال مطابقت خوبی دارد. راماچندرآ<sup>۲</sup> (۱۰۱-۱۱۴: ۲۰۰۷) در مقاله‌ای تحت عنوان تعیین پتانسیل انرژی خورشیدی با استفاده از GIS چنین بیان می‌کند که پتانسیل انرژی‌های تجدید پذیر و قابلیت دسترسی به این منابع نیاز به بررسی دارد که سیستم اطلاعات جغرافیایی و سنجش از دور (RS) در مقیاس‌های مکانی و زمانی و تقاضا از منابع تجدید پذیر و برنامه ریزی برای آن کمک می‌کند. وی با استفاده از GIS نقشه پتانسیل انرژی خورشید را در ایالت کارانتکا در هند برای بهره برداری از این انرژی تهیه کرد. ایشان ضمن تجزیه و تحلیل نقشه‌های به دست آمده، مناطق و نواحی مستعد را شناسایی و میزان تابش رسیده به آنها را به دست آورد.

خلیلی و رضایی صدر (۳۵-۱۵: ۱۳۷۶)، با استفاده از داده‌های اقلیمی ایستگاه‌های هواشناسی (سینوپتیک، کلیماتولوژی) تابش کلی خورشید را در گستره ایران برآورد کردند. آنان ضمن واسنجی ضرایب آنگسترم برای ایران مقادیر A و B را برای شبکه تشعشع سنجی بجز ایستگاه جاسک و زاهدان در سایر ایستگاه‌ها در سطح ۰/۰۱ معناداری به دست آورده‌اند و با استفاده از ۱۶ ایستگاه تابش سنجی انرژی تابشی خورشید را در سطح کشور به ۱۶ منطقه تقسیم و پهنه بندی کردند. صفائی و همکاران (۲۷-۳۴: ۱۳۸۴) در یک کار تحقیقی از ۲۱ ایستگاه تشعشع سنجی کشور ۹ ایستگاه که داده‌های تشعشع سنجی آنها که دوره آماری ۵ تا ۱۱ ساله داشته استفاده کردند. برای تخمین میانگین ماهانه تابش کلی روزانه در سطح افقی سه مدل: آنگسترم - پرسکات، روش حداکثر احتمال و مدل هیبرید را به کار برdenد و نتیجه گرفتند که مدل هیبرید مناسب‌تر از دو مدل دیگر است. با استفاده از مدل هیبرید دوازده نقشه مربوط به میانگین ماهانه تابش کلی روزانه خورشیدی بر واحد سطح افقی در هر ماه و چهار نقشه برای فصل‌های مختلف سال و یک نقشه مربوط به مجموع انرژی تابشی کلی رسیده به واحد سطح افقی به مدت یک سال برای نقاط مختلف ایران ترسیم کردند. قویدل حیدری و همکاران (۶۱-۶۳: ۱۳۸۵) با استفاده از مدل سودا<sup>۳</sup> میزان تابش خورشید را در استان سیستان و بلوچستان برآورد کردند و الگوی تابش در استان را به دو دوره عمدۀ

1 - Allen

2 - Ramachandra

3 - Soda

تابش فصل گرم و تابش فصل سرد و در حد فاصل آنها دو دوره گذار فصل گرم به سرد و فصل سرد به گرم تقسیم کردند. که در دوره گرم از شمال شرق به جنوب غرب از میزان تابش کاسته می شود. در فصل سرد سال مراکز کم تابش و پر تابش در سطح استان کاملاً تغییر می کند. میزان تابش از شمال به جنوب و از غرب به شرق افزایش می یابد. در دوره گذار گرم به سرد تغییرات زیادی در الگوی تابش استان به وجود می آید اما تغییرات گذار سرد به گرم به دلیل اعتدال در تابش آفتاب و طول روز در میزان تابش کمتر است. در کل توزیع تابش سالانه در استان از جنوب به شمال و از غرب به شرق افزایش می یابد. از نظر مقدار تابش میانگین سالانه، تمام ایستگاههای استان را دارای چولگی منفی ارزیابی کردند. حیدری نبی و همکاران (۱۳۸۶)، در پژوهشی به بررسی برخی از مدل های یک یا چند متغیره آماری مبنی بر نظریه همبستگی و قابلیت شبکه های عصبی مصنوعی در برآورد تابش روزانه خورشید پرداخته و به این نتیجه رسیدند که در بین هشت مدل مورد بررسی در مناطق مختلف، شبکه های عصبی مصنوعی در ردیف سه روش دارای کمترین خطای دربرآورد قراردارد. ابراهیم پور و همکاران (۱۹-۱۸: ۱۳۸۸) در یک پژوهشی میزان تابش کلی را با روش های مختلف و یک روش پیشنهادی جدید مورد بررسی قرار دادند و نتایج حاصل از محاسبات انجام شده توسط این روش ها با داده های ماهانه و روزانه اندازه گیری شده توسط سازمان هواسناسی کشور برای شهرهای منتخب ایران مقایسه و به این نتیجه رسیدند که روش پیشنهادی جدید و روش واتانابه<sup>۱</sup> بهتر است. در صورتی که ضریب هوا از روش کولارس<sup>۲</sup> محاسبه گردد، نتایج روزانه روش جدید به نتایج اندازه گیری شده بسیار نزدیکتر بوده و نتایج را با دقت بیشتری ارائه می کند. علیزاده و خلیلی (۲۳۸-۲۲۹: ۱۳۸۸) معادله آنگسترم - پرسکات که یکی از متدائل ترین روش های تخمین تابش واقعی خورشید است، برای منطقه مشهد و اسنجه و اعتبار سنجی کرده و ضرایب این معادله را با روش بهینه سازی حداقل مربعات خطای تعیین نمودند. همچنین یک رابطه رگرسیونی چند متغیره با در نظر گرفتن پارامترهای هواسناسی شامل ساعت آفتابی، دمای حداقل و حداقل، میانگین درصد رطوبت نسبی و بارش برای برآورد تابش منطقه مشهد به کار گرفتند و به این نتیجه رسیدند که معادله چند متغیره نسبت به رابطه آنگسترم - پرسکات کمی از دقت بالاتر برخوردار است. با انجام آزمون t بر روی این دو معادله در سطح اطمینان ۹۵ درصد مشاهده کردند که اختلاف معناداری بین این دو معادله وجود ندارد. لذا توصیه کردند که می توان بدون صرف هزینه و زمان لازم برای جمع آوری داده های هواسناسی و تنها با داشتن داده های ساعت آفتابی و محاسبه تابش فرا زمینی، تابش واقعی خورشید را با ضرایب به دست آمده برای معادله آنگسترم - پرسکات این معادله را به کار برد. در این پژوهش سعی بر برآورد و پهنه بندی انرژی تابش کل

1 - Watanabe

2 - Collares

خورشیدی رسیده به سطح افقی با استفاده از پارامترهای اقلیمی در محیط GIS در گستره استان آذربایجان شرقی می‌باشد. به دلیل اینکه تابش کل خورشید بجز در ایستگاه تبریز در سایر ایستگاههای استان سنجش و اندازه گیری نمی‌شود، هدف این تحقیق برآورد تابش افقی رسیده به سطح زمین در محدوده کل استان می‌باشد.

## مواد و روش‌ها

داده‌های این پژوهش را اطلاعات اقلیمی ایستگاههای سینوپتیک استان تشکیل داده است. داده‌های حداکثر دما، حداقل دما، میانگین دما، حداقل رطوبت، ساعات آفتابی و حداقل مقدار ابر (ابرناکی) به صورت ماهانه برای ۶ ایستگاه سینوپتیک در استان آذربایجان شرقی که بالای ۲۰ سال آمار داشتند به مدت ۲۱ سال آمار مشترک بین ایستگاه‌ها (از سال ۱۹۸۷ الی ۲۰۰۷) و داده‌های متوسط ماهانه تابش کل روزانه انرژی خورشیدی برای یک دوره ۶ ساله (از سال ۲۰۰۱ الی ۲۰۰۶) انتخاب شد. علت انتخاب این بازه زمانی در داده‌های تابش برای ساخت مدل وجود خلاهای آماری بسیار زیاد و داده‌های مشکوک و پرت در سال‌های ماقبل آن می‌باشد.

برای تکمیل داده‌های مفقود یک ماتریس همبستگی بین پارامترهای مذکور و بین ایستگاه‌ها به صورت ماهانه تشکیل شد. سپس با توجه به ضریب همبستگی بالا میان آنها، مدل رگرسیونی مناسب که بالاترین مقدار  $R=90$  و بالاتر) را داشت انتخاب و به بازسازی داده‌های مفقود و شناسایی داده‌های مشکوک و پرت پرداخته شد. نرمال بودن داده‌ها با آزمون کولموگراف اسمیرونوف و همگن بودن داده‌ها با آزمون ران تست ارزیابی و تائید شد. برای بررسی نتایج مدل تست‌های آماری، میانگین خطای MBE، میانگین قدر مطلق خطای MAD، میانگین مجدد مربعات خطای RMSE، میانگین نسبی مجدد مربعات خطای RRMSE، درصد میانگین قدر مطلق خطای MADEV مورد استفاده قرار گرفت.

برای تعیین میزان تابش خورشید در سطح زمین چهار روش وجود دارد که به شرح زیر است:

- اندازه گیری مستقیم مولفه‌های تابش

- روش‌های مبتنی بر محاسبه مولفه‌های تابش مستقیم و پراکنده خورشید در یک لحظه معین از زمان و انتگرال گیری از این مولفه‌ها برای تمامی روز و متعاقباً برآورد میانگین‌های ماهانه و سالانه آن‌ها، بدیهی است تابش کل از جمع این مولفه‌ها حاصل می‌گردد.

- برآورد مولفه‌های تابش مستقیم و غیرمستقیم خورشید بر اساس ویژگی‌های فیزیکی پدیده تضعیف تابش در عبور آتمسفر و برآورد تابش کلی در سطح زمین.

- برآورد مولفه های تابش با روش های تجربی مبتنی بر تحلیل های آماری، در این قسمت عمدۀ ترین کارهای انجام شده روی میزان انرژی کلی دریافتی بوده نه مولفه های تابش مستقیم و پراکنده که در این تحقیق هم از این روش استفاده شده است.

### روش تحقیق

پس از انجام مراحل کنترل کیفیت داده ها، مدل های مختلف رگرسیونی برای برآورد تابش مورد بررسی قرار گرفت و ضرایب هر یک از مدل ها با استفاده از داده های موجود در ایستگاه تبریز در نرم افزار SPSS محاسبه گردید. چون هدف اصلی پژوهش این بوده که بیشتر از پارامترهایی که در تمام ایستگاه های سینوپتیک در سطح استان اندازه گیری می شود برای برآورد تابش استفاده گردد. با توجه به این اصل که در بررسیهای جغرافیایی و اقلیمی، روابط و اثرات پدیده ها بر روی پدیده های دیگر مورد توجه قرار می گیرد، به همین علت است که در مطالعات جغرافیایی یکی از مسائل مطالعه و بررسی میزان روابط و اثرات پدیده ها و تعیین همبستگی و برآورد و عملکرد یک پدیده از روی پدیده دیگر که بر روی آن اثر معناداری را دارد می باشد. این مفهوم در جغرافیای کمی به عنوان یک اصل مورد توجه اندیشمندان جغرافی قرار دارد. مطالعه پدیده های مرتبط و تخمين و یا برآورد یک عامل از عامل و یا عوامل دیگر در پژوهش های جغرافیایی و اقلیمی موضوع کاربرد رگرسیون می باشد (مهدوی و طاهر خانی، ۱۳۸۵: ۲۰۶).

در رگرسیون به دنبال برآورد رابطه ای ریاضی و تحلیل آن هستیم، به طوری که بتوان به کمک آن کمیت یک متغیر مجهول را با استفاده از متغیرهایی معلوم، تعیین کرد. با فرض این که رابطه علت و معلولی بین دو متغیر کمی وجود داشته باشد و این رابطه به صورت خطی باشد، رگرسیون به شکل رابطه شماره (۱) تعریف می شود که به رگرسیون خطی ساده مشهور است. یا به عبارت دیگر مقدار متغیر وابسته به کمک متغیر مستقل برآورد می شود.

$$Y = a + bx \quad (1)$$

وقتی تعداد متغیرها افزایش می یابد رابطه فوق به یک رابطه خطی چند جمله ای به صورت زیر تبدیل می گردد:

$$Y = a + b_1 x_1 + b_2 x_2 + \dots + b_n x_n \quad (2)$$

در رابطه فوق:  $b_{1,2}$ ,  $a_1$ ,  $a_2$  ضرایب رگرسیون و  $\text{Y}$  متغیر مستقل موثر در مسئله و  $\text{Y}$  متغیر وابسته که در اینجا میزان تشعشع یا انرژی تابش خورشیدی می‌باشد.

همبستگی میان پارامترهای مورد مطالعه آورده شده است. با توجه به جدول (۱) تمام پارامترهای مورد استفاده در مدل همبستگی بسیار بالایی با میزان تشعشع دارند و بالاترین مقدار همبستگی  $0.928$  با ساعت آفتابی می‌باشد. روش‌های مختلفی برای ورود متغیرها به مدل ورودی وجود دارد که مهمترین آنها عبارتند از: Enter, Stepwise, Forward, Backward, Removed

جدول ۱- همبستگی متغیرهای اقلیمی با میزان تشعشع خورشیدی

میزان تشعشع	ساعت‌ آفتابی	ابرناکی	حداقل رطوبت	میانگین دما	حداکثر دما	حداقل دما	عناصر اقلیمی	
۱	$0.928^{**}$	$-0.683^{**}$	$-0.824^{**}$	$0.882^{**}$	$0.884^{**}$	$0.880^{**}$	Pearson Correlation	میزان تابش
	$0.000$	$0.000$	$0.000$	$0.000$	$0.000$	$0.000$	Sig. (2-tailed)	
۷۲	۷۲	۷۲	۷۲	۷۲	۷۲	۷۲	N	

$^{**}$ . Correlation is significant at the 0.01 level (2-tailed).

در این مقاله با توجه به ماهیت تحقیق جهت برآورده دقیق تابش ورودی به سطح زمین از دو روش مرسوم تر استفاده گردید.

- روش ورود (Enter): در این روش کلیه متغیرها در یک مرحله وارد و در پیش بینی متغیر تابع شرکت می‌کنند.
- روش گام به گام (Stepwise): در این روش متغیرها به ترتیب نقشی که در تبیین تغییرات متغیرات متغیر تابع دارند به صورت مرحله‌ای وارد مدل می‌شوند و موثرترین عوامل شناسایی می‌شوند.

#### یافته‌ها

متغیرها به روش Enter وارد مدل شدند. متغیرهای مورد استفاده در مدل رگرسیونی عبارتند از: ساعت آفتابی (SH)، حداکثر دما (Tmax)، حداقل دما (Tmin)، میانگین دما (Tmean)، حداقل رطوبت نسبی (RH) و ابرناکی آسمان (C) که در کل مدل دارای آلتغیر مستقل و ضرایب آنها به صورت زیر می‌باشد.

$$Y = a + (b_1 \cdot SH) + (b_2 \cdot Tmax) + (b_3 \cdot Tmin) + (b_4 \cdot Tmean) + (b_5 \cdot RH) + (b_6 \cdot C) \quad (3)$$

(4)

$$Y = (-690.6/58) + (931 \times SH) + (70.2 \times Tmax) + (-10.4 \times Tmin) + (251 \times Tmean) + (-1/36 \times RH) + (70.2 \times C) \quad (4)$$

در معادله فوق a عرض از مبداء یا ضریب ثابت رگرسیون و مقادیر  $b_1$  تا  $b_6$  وزن هریک از متغیرها موجود در مدل می باشد. در جدول شماره ۲ متغیرهای ورودی به مدل، ضرایب و وزن هریک از آنها نشان داده شده است. با توجه به آزمون T دو متغیر ساعت آفتابی و ابرناکی موثرترین متغیرها در مدل می باشند (با توجه به سطح معنی داری آزمون).

در جدول (۳) خلاصه مدل رگرسیون نشان داده شده است که در آن R یا ضریب همبستگی برابر ۰/۹۸۱ و R Square یا ضریب تبیین برابر ۰/۹۶۱ می باشد. این عملاً بدان معنی است که ۹۶/۱ درصد تغییرات تابش رسیده به عنوان متغیر وابسته به وسیله ۶ متغیر ورودی تبیین می شود.

جدول شماره ۲ - ضرایب رگرسیون متغیرهای ورودی در مدل به روش Enter

متغیرها	ضرایب استاندارد نشده			ضرایب استاندارد شده	آماره T	سطح معنی داری
	B	Std. Error	Beta			
ضریب ثابت مدل	-690.6/580	10.23/496			-6/748	0/000
	-10.3/567	1.27/0.29	-0/557		-0/815	0/418
	-140/244	1.09/213	-0/926		-1/284	0/204
	250/534	2.08/762	1/506		1/2	0/234
	-1/361	8/114	-0/011		-0/168	0/877
	70.1/969	57/687	0/681		12/168	0/000
	930/989	55/519	1/504		16/799	0/000

جدول ۳ - خلاصه شاخص های مدل رگرسیونی به روش Enter

Model	R	R Square	Adjusted R Square	Std. Error of the Estimate	Durbin-Watson
1	0/981	0/961	0/958	335/30.311	1/804

جدول ۴ حاوی تحلیل واریانس رگرسیون به منظور بررسی قطعیت وجود رابطه خطی بین متغیرها است. چون سطح معنی‌داری برابر صفر است و از سطح آلفای  $0.05$  کمتر می‌باشد، بنابراین فرض خطی بودن رابطه بین متغیرها تایید می‌گردد. یا به عبارتی بین متغیر وابسته و متغیرهای مستقل رابطه خطی وجود دارد. همچنین در جدول، سطر Regression بیانگر میزان تغییرات متغیر وابسته است که از طریق متغیرهای مستقل تبیین می‌شود. سطر Residual یا باقیمانده‌ها بیانگر میزان تغییرات متغیر وابسته است که توسط سایر عوامل تبیین می‌شود.

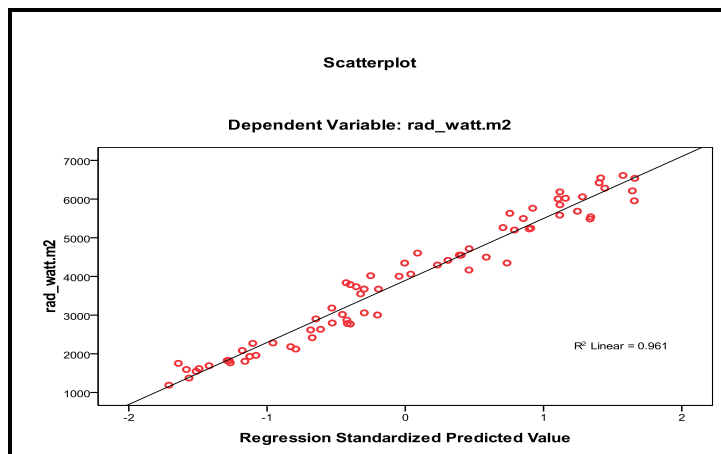
جدول ۴ - تحلیل واریانس رگرسیون

Model		Sum of Squares	df	Mean Square	F	Sig.
۱	Regression	۱۸۲۳۸۸۶۹۸/۹۳۸	۶	۳۰۳۹۸۱۱۶/۴۹۰	۲۷۰/۳۷۸	۰/۰۰۰
	Residual	۷۳۰۷۸۳۱/۳۹۹	۶۵	۱۱۲۴۲۸/۱۷۵		
	Total	۱۸۹۶۹۶۵۳۰/۳۳۷	۷۱			

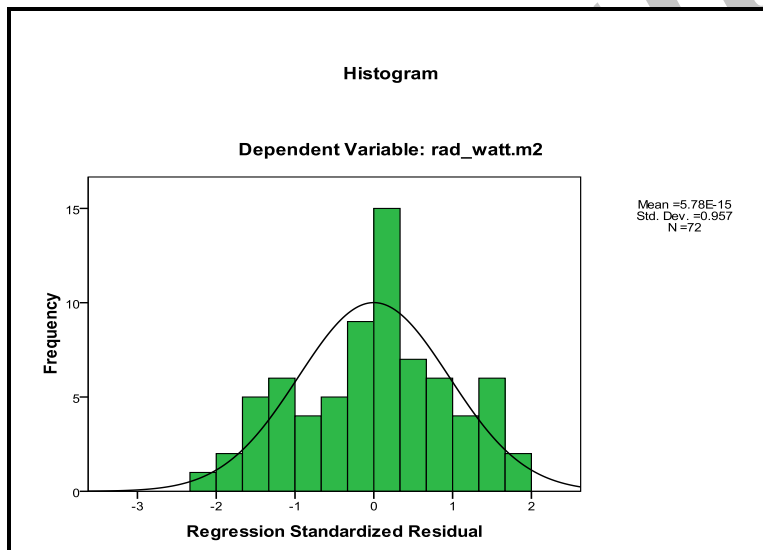
شکل (۱) پراکنش داده‌های اندازه‌گیری شده را نسبت به برآورد شده نشان می‌دهد. یکی از مفروضات رگرسیون آن است که خطاهای دارای توزیع نرمال با میانگین صفر می‌باشد. با توجه به شکل (۲ و ۳) و جدول ۵ ملاحظه می‌شود که باقی مانده‌ها دارای توزیع نرمال می‌باشند ولی روند خاصی ندارد و میانگین خطاهای نیز برابر صفر می‌باشد بنابراین می‌توان از رگرسیون استفاده کرد.

جدول ۵- میانگین و انحراف معیار باقیمانده‌ها

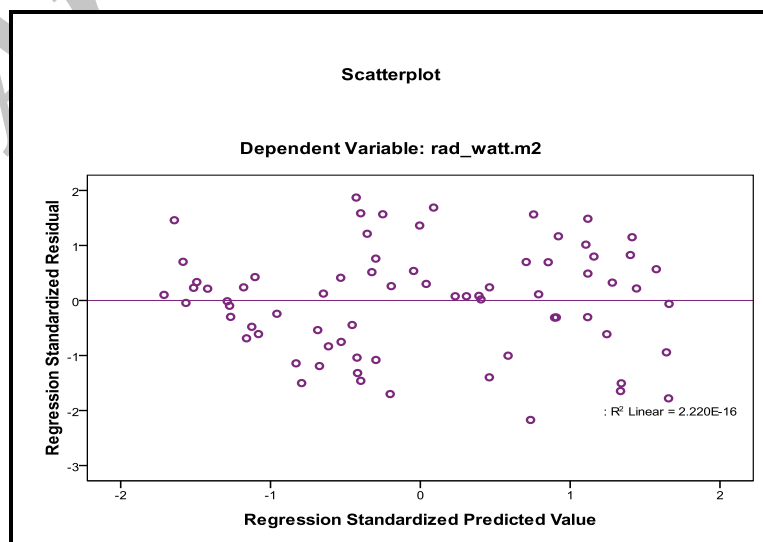
	حداقل	حداکثر	میانگین	انحراف معیار	تعداد
Predicted Value	۱۱۵۴/۴۲۲۱۲	۶۵۵۶/۹۰۰۸۸	۳۸۹۶/۲۲۹۹۱	۱۶۰۲/۷۶۴۷۷۲	۷۲
Residual	-۷۲۷/۹۹۱۵۷۷	۶۲۷/۲۱۹۷۲۷	۰/۰۰۰۰۰	۳۲۰/۸۲۲۶۹۷	۷۲
Std. Predicted Value	-۱/۷۱۱	۱/۶۶۰	۰/۰۰۰	۱	۷۲
Std. Residual	-۲/۱۷۱	۱/۸۷۱	۰/۰۰۰	۰/۹۵۷	۷۲



شکل ۱- پراکندگی داده های اندازه گیری شده نسبت به برآورد شده

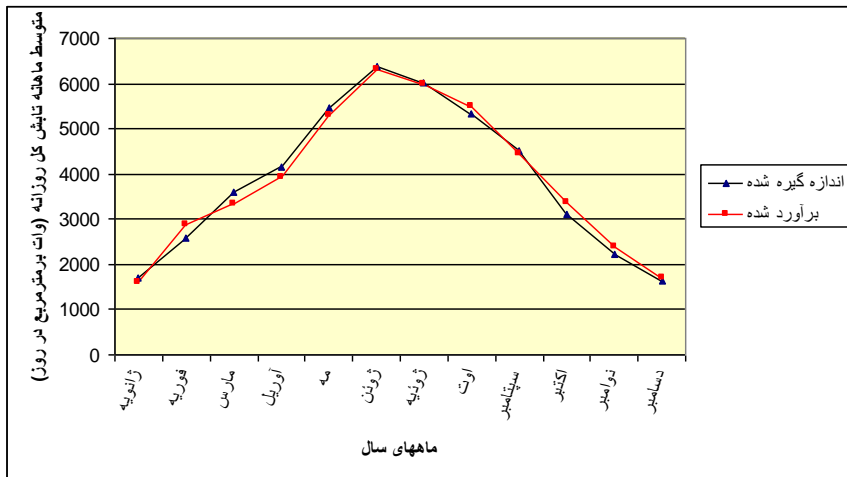


شکل ۲- نمودار توزیع نرمال باقیمانده ها



شکل ۳- پراکندگی باقی ماندهها نسبت به برآورد شده ها

در شکل (۴) و جدول ۶ مقادیر به دست آمده از مدل با مقادیر اندازه گیری شده در ایستگاه تبریز به صورت متوسط ماهانه مقایسه شده است. با توجه به شکل و جدول مذکور مقادیر برآورد شده تطابق خوبی با داده های اندازه گیری دارد.



شکل ۴- مقایسه مقادیر اندازه گیری شده تشعشع با مقادیر برآورد

جدول ۶- مقایسه نتایج به دست آمده توسط مدل با مقادیر اندازه گیری شده و مقادیر خطایها (شدت کل تابش خورشیدی (w/m<sup>2</sup>/Day)

ماه	متوسط مقدار اندازه گیره شده	متوسط مقدار برآورد شده	متوجه مقدار مدل
ژانویه	۱۷۰۲/۸۶	۱۵۹۵/۸۱	
فوریه	۲۵۹۸/۶۶	۲۸۷۷/۰۳	
مارس	۳۶۰۰/۵۶	۲۳۴۲/۵۵	
آوریل	۴۱۶۲/۲۱	۳۹۳۲/۶	
مه	۵۴۶۷/۴۱	۵۳۰۳/۶۸	
ژوئن	۶۳۷۴/۶۶	۶۳۲۷/۶۷	
ژوئیه	۶۰۱۲/۵۷	۵۹۷۱/۴۱	
اوت	۵۲۳۹/۸۴	۵۴۹۶/۴۴	
سپتامبر	۴۵۱۳/۵۵	۴۴۴۰/۴۶	
اکتبر	۳۱۰۸/۲۶	۲۳۶۶/۹۶	
نوامبر	۲۲۲۳/۵۱	۲۳۹۰/۹۴	
دسامبر	۱۶۴۹/۶۸	۱۷۰۸/۲۶	
MBE(w/m <sup>2</sup> )	-۰/۰۰۲۶۹		
MAB(w/m <sup>2</sup> )	۱۲/۷۷۳۰۴		
RMSE(w/m <sup>2</sup> )	۱۷۴/۹۲		
RRMSE	۳/۰۹۸		
MADEV(%)	۰/۴۰۳۱		

یکی از سیستم های اطلاعاتی که در سال های اخیر استفاده از آن رواج روزافزون یافته و در زمینه هایی از علوم گوناگون کاربرد پیدا نموده است سیستم اطلاعات جغرافیایی می باشد. پس از ساخت و به دست آوردن ضرایب مدل در محیط نرم افزار SPSS به تحلیل خطاهای آن پرداخته شد. پس از کسب اطمینان که می توان از مدل برای برآورد استفاده کرد. جهت پهنه بندی میزان انرژی تابش خورشیدی رسیده به سطح افق از نرم افزار ARCGIS استفاده گردید. ابتدا داده ها وارد نرم افزار شد و یک پایگاه اطلاعات داده در آن تشکیل و تمام لایه های مورد نیاز ایجاد گردید. سپس از روش های میانیابی، روش فاصله معکوس وزنی<sup>۱</sup> IDW جهت تبدیل داده های نقطه ای ایستگاهها به ساختار سلولی (rst) در سطح استان انتخاب شد. جهت کاهش خطاهای در محیط نرم افزار GIS از داده های برآورد شده برای تک تک ایستگاهها استفاده نشد بلکه با میانیابی متغیرهای اقلیمی مورد استفاده در مدل برای فضول مختلف، لایه های جدید Rst را با اندازه پیکسل های مشخص  $200 \times 200$  متر ایجاد گردید. سپس با استفاده از محاسبه گر Rst<sup>۲</sup> در تحلیل های فضایی در محیط سیستم اطلاعات جغرافیایی لایه های Rst را ایجاد شده را با اعمال ضرایب به دست آمده از مدل برای تک تک لایه ها، آنها را باهم تلفیق و میزان انرژی تابش خورشیدی برآورد و نهایتاً نتیجه به صورت نقشه هم تابش برای فضول مختلف و یک نقشه هم به صورت سالانه تهیه و ترسیم شد.

## بحث

میانگین مجموع سالانه ساعت آفتابی برای استان ۲۷۹۹ ساعت به دست آمده که در مقایسه با استان های جنوبی کشور مثل ایستگاه کرمان با مجموع متوسط سالانه ساعت آفتابی ۳۱۷۴، ایستگاه یزد ۳۲۲۳ و ایستگاه زاهدان با ساعت آفتابی ۳۲۵۸، یک رقم قابل توجهی به شمار می رود. ضریب ساعت آفتابی استان به کل ساعت روشنایی (طول روز) بیش از ۶۴٪ می باشد. تفاوت های قابل توجهی از نظر ساعت آفتابی بین نواحی مختلف استان وجود دارد. چون در این پژوهش هدف برآورد میزان انرژی تابش خورشید در سطح افق بوده و بیشتر از پارامترهای اقلیمی استفاده گردیده، نهایتاً شرایط توپوگرافی در نقشه های به دست آمده جلوه نمی کند. الگوی تابش در استان به چهار مقطع زمانی، فصل زمستان، بهار، تابستان و پاییز مورد تجزیه و تحلیل قرار می گیرد.

1 - Ivverse Distance Weighted

2 - Raster Calculator

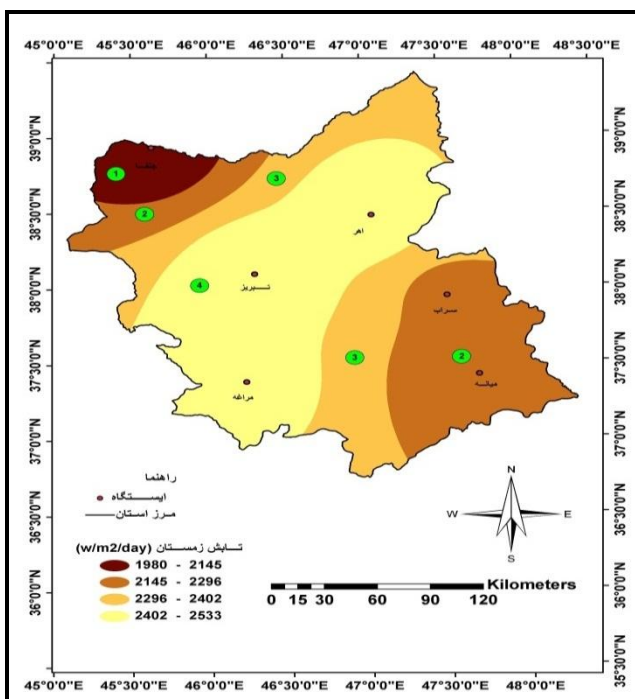
## تابش فصل زمستان

شکل (۵) پهنه تابش فصل زمستان را نشان می‌دهد. در این فصل هسته پرتابش روی ایستگاه‌های اهر، تبریز و مراغه و هسته کم تابش بر روی ایستگاه جلفا متمرکز گردیده است. میانگین تابش دریافتی این فصل  $۲۳۴۹/۳$  وات بر متر مربع با انحراف معیار  $۱۱۴/۴$  و دامنه تغییرات تقریباً  $۵۵۳$  وات بر متر مربع و با ضریب تغییر تقریباً  $۵$  درصد به دست آمده است. بر اساس جدول (۷) بیشترین مساحت استان مربوط به ناحیه تابشی سه، معادل  $۱۹۳۵۷$  کیلومتر مربع و کمترین مقدار آن معادل  $۲۳۰۱$  کیلومتر مربع مربوط به ناحیه اول است. ضریب تغییرات ناحیه اول بیشتر از سایر نواحی تابشی در این فصل می‌باشد.

جدول ۷- میزان تابش کل رسیده به سطح افق در فصل زمستان در نواحی مختلف استان آذربایجان شرقی

ناحیه تابشی		مساحت به کیلومتر مربع	حداقل تابش w/m <sup>2</sup> /day	حداکثر تابش w/m <sup>2</sup> /day	دامنه تغییرات	میانگین تابش w/m <sup>2</sup> /day	انحراف معیار	ضریب تغییرات به درصد
فصل	زمستان							
فصل زمستان	ناحیه یک	$۲۳۰۰/۹۲$	$۱۹۸۰/۶$	$۲۱۴۵$	$۱۶۴/۴$	$۲۰۵۷/۳$	$۴۸/۳$	$۲/۳۵$
	ناحیه دو	$۱۱۹۳۲/۳$	$۲۱۴۵$	$۲۲۹۶$	$۱۵۱$	$۲۲۳۶/۵$	$۳۸/۲$	$۱/۷۱$
	ناحیه سه	$۱۱۷۶۶/۹$	$۲۲۹۶$	$۲۴۰۲$	$۱۰۶$	$۲۳۵۵/۹$	$۳۰/۸$	$۱/۳۱$
	ناحیه چهار	$۱۹۳۵۶/۴$	$۲۴۰۲$	$۲۵۳۳/۴$	$۱۳۱/۴$	$۲۴۴۹/۷$	$۲۸/۵$	$۱/۱۶$
	کل استان	$۴۵۳۵۷/۵$	$۱۹۸۰/۶$	$۲۵۳۳/۴$	$۵۵۲/۸$	$۲۳۴۹/۳$	$۱۱۴/۴$	$۴/۸۷$

چگونگی پوشش سطح زمین در میزان تابش کل اهمیت ویژه‌ای دارد. بررسی‌های متعدد در شرایط پوشش بخش‌های وسیعی از سطح زمین با برف با توجه به توان انعکاس (آلدو) شدیدی که برف دارد، ایجاد انعکاس مکرر سطح زمین و سطح زیرین ابر موجب افزایش میزان تابش کلی می‌شود. در چنین شرایطی که مقدار تابش کلی در مناطق قطبی، در قیاس با مناطق مشابه که در آنها پوشش برف حاکم نباشد تا سه برابر افزایش می‌یابند (کاویانی و علیجانی، (۱۳۷۹).



شکل ۵- توزیع میانگین تابش فصل زمستان در سطح استان آذربایجان شرقی

بر اساس آمار روزهای برفی ایستگاه های مورد مطالعه و ویژگی ها و شرایط طبیعی استان و نقشه تابشی فصل زمستان مطالب فوق تایید می گردد. تعداد روزهای برفی در زمستان برای ایستگاه اهر حدود ۲۴ روز، ایستگاه تبریز ۲۵ روز، ایستگاه مراغه حدود ۲۱ روز، ایستگاه میانه ۱۷ روز، ایستگاه سراب ۲۷ روز و برای ایستگاه جلفا ۱۳ روز گزارش شده، با توجه به آمار موجود کمترین روز برفی برای ایستگاه جلفا می باشد که هسته کم تابش را به خود اختصاص داده است. ایستگاه های تبریز، اهر و مراغه که هسته پرتابش بر این ایستگاهها متمرکز شده بعد از سراب روزهای برفی بالاتری را دارند. ایستگاه سراب به دلیل ارتفاع بالای آن نسبت به سایر ایستگاه ها و حالت بادپناهی آن موجب شده که این ایستگاه با توجه به تعداد روزهای یخ‌بندان بالا در هسته پرتابش قرار نگیرد.

## تابش فصل بهار

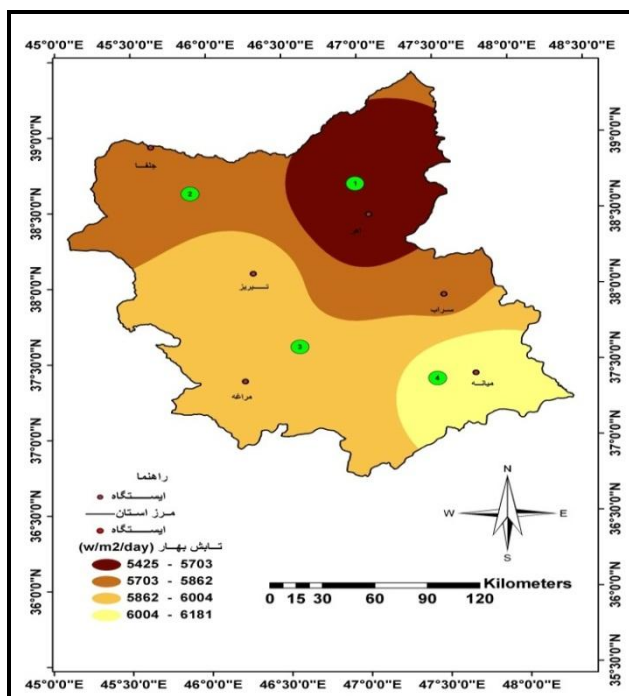
هسته کم تابش در این فصل به مرکزیت اهر در شمال شرقی استان قرار دارد. با توجه به جدول (۸) و شکل (۶) میانگین میزان تابش دریافتی در این فصل  $5848/8$  وات بر متر مربع در روز می باشد. بیشترین مساحت استان متعلق به ناحیه تابشی سه، که حداقل تابش دریافتی آن  $5862$  وحدت متر مربع می باشد. دامنه تغییرات در سطح استان در این دوره  $755$  وات بر متر مربع در روز است که بیشترین تغییر مربوط به ناحیه اول می باشد. ضریب تغییرات در این فصل کم و حدود  $2/6$  به دست آمده است. ابرناکی آسمان در میزان تابش کلی بر سطح زمین اهمیت

بسیار زیاد دارد. بخصوص با توجه به توان انعکاس تابش مستقیم در برخورد به سطح که حدود ۷۵ درصد است، آشکارتر می‌شود؛ بنابراین در آسمان ابری، در مقایسه با آسمان بدون ابر، تنها ۲۰ تا ۲۵ درصد از تابش قادر به نفوذ تا سطح زمین است. لذا ابرناکی و مقدار بخار آب در مناطق مختلف تعیین کننده مقدار انرژی تابش رسیده به سطح زمین محسوب می‌شوند. بارش‌های بهاره بیشتر در منطقه آذربایجان اتفاق می‌افتد یا به عبارتی روزهای بارندگی بهاره آذربایجان بیشتر از سایر مناطق کشور است. به این دلیل که؛ در فصل بهار بادهای غربی هنوز از منطقه خارج نشده‌اند و از طرف دیگر بر اثر تابش عمودی آفتابگیر سطح زمین بسیار گرمتر از آتمسفر مجاور شده و همرفت دامنه‌ای و نهایتاً ناپایداری شدید را سبب می‌شود. چون رطوبت هم هنوز توسط بادهای غربی از دریای مدیترانه می‌رسد و پایداری ژمستان هم وجود ندارد تعداد روزهای بارندگی افزایش می‌یابد. میانگین ابرناکی ایستگاه اهر در این فصل  $7/5$  اکتاس است که مفهوم آن این است که  $6/5$  قسمت از  $8$  قسمت آسمان در این دوره ابری بوده است.

جدول -۸- میزان تابش کل رسیده به سطح افق در فصل بهار در نواحی مختلف استان آذربایجان شرقی

نواحی تابشی		مساحت به کیلومترمربع	حداقل تابش $w/m^2/day$	حداکثر تابش $w/m^2/day$	دامنه تغییرات	میانگین تابش $w/m^2/day$	انحراف معیار	ضریب تغییرات به درصد
فصل	بهار							
ناحیه یک	ناحیه یک	۸۲۷۵/۲۴	۵۴۲۵/۸	۵۷۰۳/۱	۲۷۷/۳	۵۶۰۰/۱	۷۵	۱/۳۴
	ناحیه دو	۱۲۹۹۵	۵۷۰۳/۱	۵۸۶۲/۴	۱۵۹/۳	۵۸۰۷	۳۹/۵	۰/۶۸
	ناحیه سه	۱۸۹۵۶/۸	۵۸۶۲/۴	۶۰۰۴	۱۴۱/۶	۵۹۲۱	۳۰/۷	۰/۵۲
	ناحیه چهار	۵۱۳۰/۵۶	۶۰۰۴	۶۱۸۱	۱۷۷	۶۰۸۹/۴	۴۷/۹	۰/۷۹
	کل استان	۴۵۳۵۷/۵	۸۵۴۲۵	۶۱۸۱	۷۵۵/۲	۵۸۴۸/۸	۱۵۰/۵	۲/۵۷

این میزان در ایستگاه اهر از سایر ایستگاه‌ها بیشتر می‌باشد. کمترین میزان آن هم برای ایستگاه میانه با رقم  $5/5$  گزارش شده، علاوه بر آن تعداد روزهای بارندگی اهر در این فصل با رقم  $41$  روز نسبت به سایر ایستگاه‌ها بیشتر بوده و کمترین مقدار روزهای بارندگی مربوط به ایستگاه میانه با رقم  $32$  روز گزارش شده است. با توجه به آمار موجود و نقشه همتابش فصل بهار چنین استنباط می‌شود که میزان تابش رسیده به سطح در این فصل بیشتر از ابرناکی، رطوبت و بخار آب موجود در آتمسفر تاثیر می‌پذیرد.



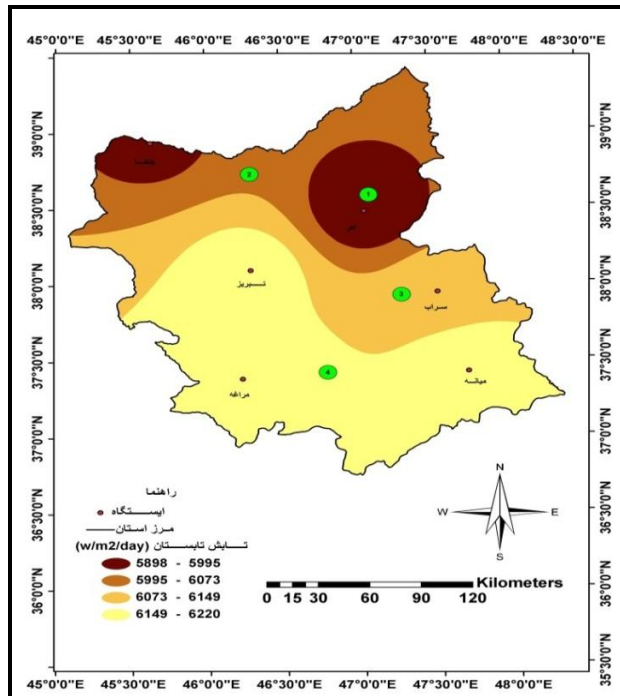
شکل ۶- توزیع میانگین تابش فصل بهار در سطح استان آذربایجان شرقی

### تابش فصل تابستان

در فصل تابستان از جنوب به شمال استان از میزان تابش کاسته می‌شود. هسته پرتابش در جنوب در ماه ژوئن بر روی ایستگاه میانه، در ماه ژوئیه بر روی میانه و مراغه و در ماه اوت علاوه بر دو ایستگاه قبلی بر روی تبریز نیز متمرکز شده است. براساس جدول (۹) این فصل از ضریب تغییر بسیار ناچیزی برخوردار است. ضریب تغییر تابش استان در این دوره حدود  $1/5$  درصد و دامنه تغییرات ۳۲۳ وات بر متر مربع در روز می‌باشد.

جدول ۹- میزان تابش کل رسیده به سطح افق فصل تابستان در نواحی مختلف استان آذربایجان شرقی

فصل تابستان	نواحی تابشی	مساحت به کیلومترمربع	حداقل تابش $w/m^2/day$	حداکثر تابش $w/m^2/day$	دامنه تغییرات	میانگین تابش $w/m^2/day$	انحراف معیار	ضریب تغییرات به درصد
فصل تابستان	ناحیه یک	۵۷۰۳/۶۴	۵۸۹۷/۹	۵۹۹۵	۹۷/۱	۵۹۶۱/۷	۲۵/۷	۰/۴۳
	ناحیه دو	۸۶۴۴/۰۴	۵۹۹۵	۶۰۷۳	۷۸	۶۰۲۸/۴	۲۱	۰/۳۵
	ناحیه سه	۹۹۴۵/۶۴	۶۰۷۳	۶۱۴۹	۷۶	۶۱۱۸/۹	۲۰/۸	۰/۳۴
	ناحیه چهار	۲۱۰۶۴/۲	۶۱۴۹	۶۲۲۱	۷۲	۶۱۸۰/۴	۱۷/۸	۰/۲۹
	کل استان	۴۵۳۵۷/۵	۵۸۹۷/۹	۶۲۲۱	۳۲۳/۱	۶۱۱۰/۴	۸۲/۲	۱/۳۵



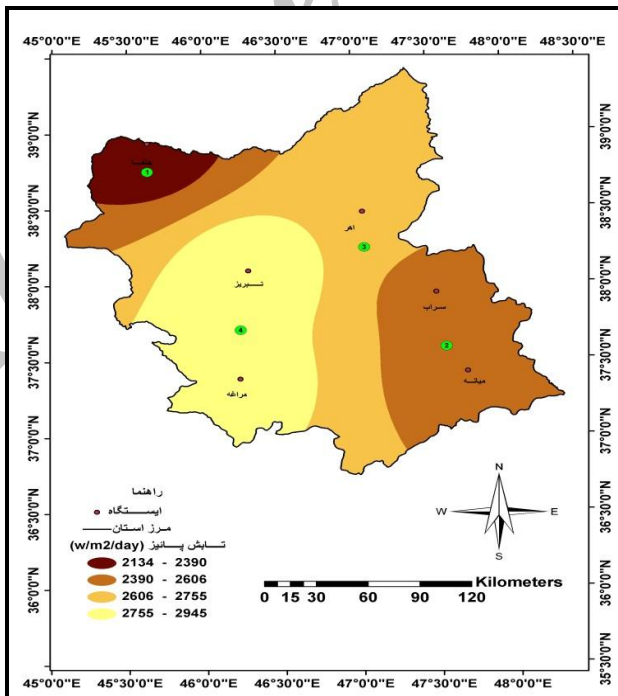
شکل ۷- توزیع میانگین تابش فصل تابستان در سطح استان آذربایجان شرقی

میانگین تابش دریافتی در این دوره برابر با ۱۱۰ وات بر متر مربع در روز و در مقایسه با سایر فصول از تابش زیادی برخوردار است. با بررسی آمار ساعت آفتابی و نقشه همتابش فصل تابستان شکل (۷) و آمار میانگین دمای این دوره که به شرح ذیل به دست آمده، اهر (ساعت آفتابی ۱۰ و دما ۲۱)، مراغه (۸/۱۱ و ۲۵)، میانه (۱۱/۵ و ۲۶/۱)، سراب (۱۱/۳ و ۱۹/۱)، تبریز (۱۱/۲ و ۲۵/۴)، جلفا (۱۰/۵ و ۲۷/۵) مشاهده می شود، میزان تابش در عرض های پایین استان بیشتر از عرض های شمالی است. میزان تابش رسیده به سطح در فصل تابستان بیشتر متاثر از ساعت آفتابی و زاویه تابش خورشید است. از طرفی در تابستان ورود عوامل بیرونی مانند توده های هوا تقریباً قطع می شود و پرفشارهای جنب حاره ای بر منطقه حاکم می گردد؛ از طرف دیگر زاویه تابش در عرض های جنوبی استان بیشتر و ضخامت آتمسفر کمتر از عرض های شمالی است. مقدار تضعیف تابش در حین عبور از اتمسفر به طول مسیری (ضخامت آتمسفر) در آن می پیماید بستگی دارد. زیرا پوشش گازی زمین بخش مهمی از تابش های خورشید را جذب می کند و بخش مهم دیگری را به اطراف پخش می کند. این عامل علاوه بر کاهش کمیت نور بر کیفیت آن نیز اثر دارد. مقدار تضعیف تابش در اتمسفر تابع قانون بیر است (حیدری نبی و همکاران، ۱۳۸۶). بنابرین میزان تابش رسیده به سطح در عرض های پایین به دلیل ضخامت کم آتمسفر افزایش می یابد. ایستگاه سراب ساعت آفتابی بیشتر و عرض جغرافیایی پایین تری نسبت به ایستگاه تبریز دارد ولی در ناحیه پرتابش قرار نگرفته، علت این امر را باید در ارتفاع ایستگاه و حالت بادپناهی آن جستجو نمود، زیرا سراب در ارتفاع بالاتر و بین رشته کوه های قوشه داغ

و سبلان در شمال و رشته بزغوش در جنوب قرار گرفته و حالت باد پناهی دارد. دمای گزارش شده این ایستگاه همیشه پایین‌تر از سایر ایستگاه‌ها گزارش شده است.

### تابش فصل پاییز

در این فصل ضریب تغییرات مکانی تابش بیشتر از سایر فصول در سطح استان می‌باشد. براساس جدول (۱۰) ضریب تغییر در این دوره تقریباً ۶ درصد با دامنه تغییرات تقریباً ۸۱۱ وات بر متر مربع در روز به دست آمده است. بیشترین مساحت استان با رقم ۱۷۳۵۵ کیلومتر مربع در ناحیه تابشی سه قرار دارد. پایین‌ترین مقدار تابش در این ناحیه ۲۶۰۶ و بالاترین مقدار آن ۲۷۵۵ وات بر متر مربع می‌باشد. ماه سپتامبر الگوی تابشی دوره گرم را دارد فقط با این تفاوت که هسته تابش در آن فقط در ایستگاه تبریز مرکز است. با توجه به شکل (۸) الگوی تابشی این فصل بیشتر شبیه الگوی ماه نوامبر می‌باشد. که در آن هسته کم تابش به مرکزیت جلفا قرار دارد. ناحیه دوم تابشی هم در جنوب شرق استان و هم در شمال غرب استان مرکز شده است. از جنوب غرب استان به سمت شمال شرق از میزان تابش کاسته می‌شود. یا به عبارتی هسته تابش در روی ایستگاه‌های تبریز و مراغه (ناحیه تابشی ۴) و به سمت شمال شرق (ناحیه تابشی ۳) از میزان آن کاسته می‌شود.



شکل ۸- توزیع میانگین تابش فصل پاییز در سطح استان آذربایجان شرقی

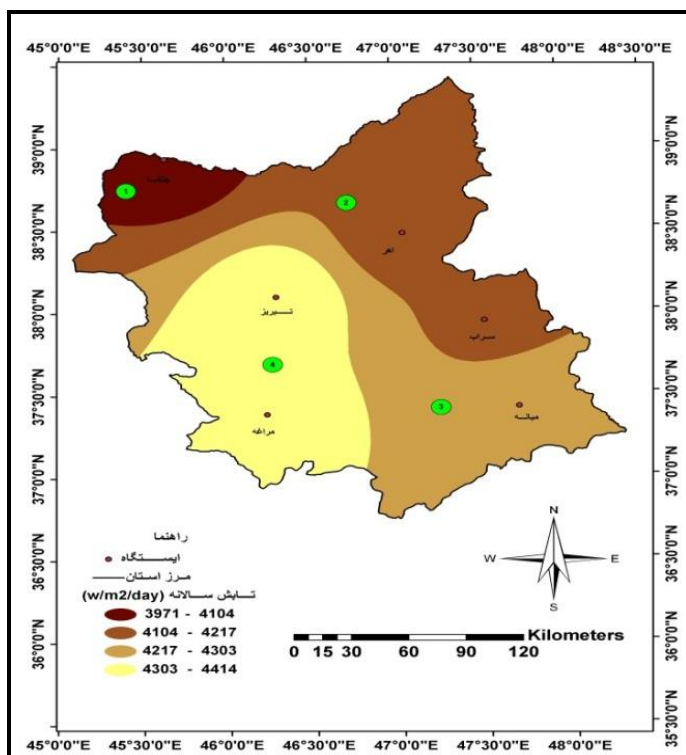
در اواخر سپتامبر بیشتر شمال استان تحت تاثیر بادهای غربی است و در نوامبر تأثیر این بادها به قسمت‌های جنوبی هم می‌رسد. رطوبت سیکلون‌های فرعی، ایستگاه‌های میانه و سراب را تحت تاثیر قرار می‌دهد و رطوبت جو باعث جذب و انعکاس تابش خورشید می‌گردد. نهایتاً با وجود اینکه این ایستگاه‌ها در عرض جغرافیایی یکسانی با ایستگاه‌های تبریز و مراغه دارند، ولی تابش کمتری دریافت می‌کنند.

جدول ۱۰- میزان تابش کل رسیده به سطح افق در فصل پاییز در نواحی مختلف استان آذربایجان شرقی

نواحی تابشی		مساحت به کیلومترمربع	حداقل تابش w/m <sup>2</sup> /day	حداکثر تابش w/m <sup>2</sup> /day	دامنه تغییرات	میانگین تابش w/m <sup>2</sup> /day	انحراف معیار	ضریب تغییرات به درصد
فصل پاییز	ناحیه یک	۲۵۱۵/۳۶	۲۱۳۴/۱	۲۳۹۰	۲۰۵/۹	۲۲۵۳/۵	۷۵/۳	۳/۳۴
	ناحیه دو	۱۲۶۸۱/۲	۲۳۹۰	۲۶۰۶	۲۱۶	۲۵۳۱/۶	۳۹/۳	۱/۰۵
	ناحیه سه	۱۷۳۳۵/۸	۲۶۰۶	۲۷۵۵	۱۴۹	۲۶۸۴/۸	۴۰/۹	۱/۰۲
	ناحیه چهار	۱۲۸۲۵/۲	۲۷۵۵	۲۹۴۴/۸	۱۸۹/۸	۲۸۲۸/۹	۴۱/۸	۱/۴۸
	کل استان	۴۵۳۵۷/۵	۲۱۳۴/۱	۲۹۴۴/۸	۸۱۰/۷	۲۶۵۸/۸	۱۵۴/۸	۵/۸۲

### تابش سالانه

توزیع تابش سالانه استان از جنوب غربی به شمال و شمال شرقی روند کاهشی دارد. بر اساس جدول (۱۱) میانگین تابش سالانه در استان ۴۴۴ وات بر متر مربع در روز می‌باشد. ضریب تغییر پذیری مکانی تابش سالانه تقریباً ۲ درصد می‌باشد که یک رقم پایینی است. دامنه تغییرات تابش سالانه استان ۴۴۳ وات می‌باشد. البته این دامنه تغییرات پایین، به دلیل برآورد تابش در سطح افق و عدم استفاده از ارتفاع در مدل می‌باشد. با توجه به شرایط توپوگرافی گوناگون استان، در صورت دخالت دادن ارتفاع در مدل قطعاً دامنه تغییرات، متفاوت از آنچه که به دست آمده خواهد بود. تابش سالانه متأثر از ساعات آفتابی، ارتفاع محل، رطوبت هوا و ابرناکی و زاویه تابش خورشید می‌باشد. متوسط مجموع سالانه ساعت آفتابی ایستگاه‌ها به ترتیب مراغه ۲۹۳۲، میانه ۲۸۹۸، تبریز ۲۸۵۰، سراب ۲۸۳۹، جلفا ۲۶۷۱ و اهر ۲۶۰۶ ساعت گزارش شده است. با توجه به آمار ساعت آفتابی، رطوبت و شکل (۹)، مشاهده می‌شود که حداکثر تابش سالانه در ایستگاه مراغه و تبریز و حداقل آن در ایستگاه جلفا متتمرکز می‌باشد. علت عدم قرارگیری میانه در ناحیه پرتابش را می‌توان به ارتفاع ایستگاه مربوط دانست که نسبت به تبریز و مراغه در ارتفاع پایین‌تری قرار دارد.



شکل ۹- توزیع میانگین تابش سالانه در سطح استان آذربایجان شرقی

جدول ۱۱- میزان تابش کل سالانه رسیده به سطح افق در نواحی مختلف استان آذربایجان شرقی

نواحی تابشی		مساحت به کیلومتر مربع	حداقل تابش w/m <sup>2</sup> /day	حداکثر تابش w/m <sup>2</sup> /day	دامنه تغییرات	میانگین تابش w/m <sup>2</sup> /day	انحراف معیار	ضریب تغییرات به درصد
سالانه	ناحیه یک	۲۵۸۴/۳۶	۳۹۷۱/۱	۴۱۰۴	۱۳۲/۹	۴۰۳۳	۳۹/۲	۰/۹۷
	ناحیه دو	۱۵۲۱۳/۹	۴۱۰۴	۴۲۱۷	۱۱۳	۴۱۷۸/۸	۲۰/۹	۰/۵
	ناحیه سه	۱۴۹۸۱	۴۲۱۷	۴۳۰۳	۸۶	۴۲۵۷/۶	۲۱/۶	۰/۵۱
	ناحیه چهار	۱۲۵۷۸/۲	۴۳۰۳	۴۴۱۴/۴	۱۱۱/۴	۴۳۵۰/۷	۲۴/۹	۰/۵۷
	کل استان	۴۵۳۵۷/۵	۳۹۷۱/۱	۴۴۱۴/۴	۴۴۳/۳	۴۲۴۴/۲	۸۸	۲/۰۷

با این تفسیر ضخامت آتمسفر در این ایستگاه نسبت به دو ایستگاه مورد اشاره بیشتر بوده و در نهایت تابش دریافتی کمتری دارد. همچنین ایستگاه جلفا هم با توجه دمای بالای خود در ناحیه کم تابش قرار گرفته علت آن را هم می توان در ارتفاع محل جستجو کرد. ایستگاه سراب با اینکه در ارتفاع بالاتر از سایر ایستگاه قرار دارد در ناحیه دوم تابش همراه با ایستگاه اهر قرار گرفته است علت آن را می توان در رطوبت نسبی آنها و سازند آتمسفری که توضیح

آن در صفحه ۵۳ به طور اجمالی ارائه شده، جستجو کرد. حداقل رطوبت نسبی گزارش شده سالانه برای ایستگاه اهر ۴۱ درصد و برای سراب ۳۹ درصد می‌باشد که بیشتر از سایر ایستگاه‌های مورد مطالعه است. نقش رطوبت یا بخار آب در تبادلات انرژی بین سطح زمین و آتمسفر بسیار چشمگیر است و یکی از عوامل مهم بیلان انرژی سیاره زمین محسوب می‌شود. اثر حذف اتمسفری در تابش مستقیم خورشید، در هوای مرطوب بیش از هوای خشک است.

### نتیجه گیری

استان آذربایجان شرقی با وجود اینکه در دیدگاه ماکروکلیمایی بطور یکپارچه تحت تأثیر شرایط همدیدی خاص قرار می‌گیرد، اما عوامل اقلیمی موثر در آن باعث شده که از خرده اقلیم‌ها و نواحی نامتجانس اقلیمی برخوردار باشد. ساعات آفتابی با رقم ۰/۹۲۸، بیشترین ضریب همبستگی را با تشعشع خورشیدی دارد. لذا ساعات آفتابی استان به کل ساعات روشنایی (طول روز) به بیش از ۶۴٪ می‌رسد و تفاوت‌های چشمگیری از نظر ساعات آفتابی بین نواحی مختلف استان وجود دارد. بطوری که ایستگاه اهر با ۲۶۰۶ ساعت میانگین مجموع ساعات آفتابی سالانه کمترین میزان و ایستگاه مراغه ۲۹۳۲ ساعت دارای بیشترین ساعت آفتابی را در استان به خود اختصاص داده است. با توجه به اعتیارسنجی نتایج حاصل از مدل با داده‌های واقعی به دست آمده در ایستگاه سینوپتیک تبریز به عنوان مرجع ملاحظه گردید که مقادیر برآورد شده تطابق خوبی با داده‌های اندازه‌گیری دارد؛ بنابراین مدل رگرسیون خطی چند متغیره روش مناسبی برای برآورد میزان تابش خورشید می‌باشد. فصل زمستان بیشتر منطبق با ماه‌های دسامبر، ژانویه و فوریه می‌باشد، هسته پرتابش روی ایستگاه‌های اهر، تبریز و مراغه و هسته کم تابش بر روی ایستگاه جلفا مرکز گردیده است. میانگین تابش دریافتی در این دوره ۲۳۴۹/۳ وات بر متر مربع با انحراف معیار ۱۱۴/۴ و دامنه تغییرات تقریباً ۵۵۳ وات بر متر مربع و با ضریب تغییر تقریباً ۵ درصد به دست آمده است. تعداد روزهای برفی در دوره سرد بیشتر تعیین کننده میزان تابش رسیده به سطح زمین می‌باشد. در طول فصل بهار هسته کم تابش به مرکزیت اهر در شمال شرقی استان قرار دارد. میانگین میزان تابش دریافتی در این دوره ۵۸۴۸/۸ وات بر متر مربع در روز می‌باشد. دامنه تغییرات در سطح استان در این دوره ۷۵۵ وات بر متر مربع در روز و ضریب تغییرپذیری در این دوره کم و حدود ۲/۶ به دست آمده است. ابرناکی و مقدار بخار آب در مناطق مختلف تعیین کننده مقدار انرژی تابش رسیده به سطح زمین محسوب می‌شوند. در فصل تابستان از جنوب به شمال استان از میزان تابش کاسته می‌شود. هسته پرتابش در جنوب در ماه ژوئن بر روی ایستگاه میانه، در ماه ژوئیه بر روی میانه و مراغه و در ماه اوت علاوه بر دو ایستگاه قبلی بر روی تبریز نیز مرکز شده است. میزان تابش رسیده به سطح در فصل تابستان بیشتر متأثر از ساعات آفتابی و زاویه تابش خورشید است. زاویه تابش در عرضهای جنوبی استان بیشتر و ضخامت آتمسفر کمتر از

عرضهای شمالی است بنابراین میزان تابش رسیده به سطح افزایش می‌یابد. ضریب تغیرات مکانی تابش فصل پاییز در سطح استان بیشتر از سایر فصول می‌باشد. ضریب تغییرپذیری در این فصل ۶ درصد با دامنه تغیرات ۸۱۱ وات بر متر مربع در روز به دست آمده است. در فصل پاییز بادهای غربی ابتدا از آذربایجان وارد می‌شوند و با توجه به اینکه این بادها سیستم‌های رطوبت‌زا را با خود به همراه دارند، بنابراین رطوبت و بخار آب جو تعیین کننده میزان تابش رسیده به سطح زمین در گستره استان می‌باشد. توزیع تابش سالانه استان از جنوب غربی به شمال و شمال شرقی روند کاهشی دارد. تابش سالانه متأثر از ساعات آفتابی، ارتفاع محل، رطوبت هوا و ابرناکی و زاویه تابش خورشید می‌باشد. نقش رطوبت یا بخار آب در تبدلات انرژی بین سطح زمین و آتمسفر بسیار چشمگیر است و یکی از عوامل مهم بیلان انرژی سیاره زمین محسوب می‌شود. اثر حذف اتمسفری در تابش مستقیم خورشید، در هوای مرطوب بیش از هوای خشک است.

## منابع

- ابراهیم پور، عبدالسلام؛ معرفت، مهدی؛ نیری، هادی (۱۳۸۸)، «ارائه‌ی یک رابطه جدید برای تخمین میزان تابش کل در اقلیم‌های مختلف ایران»، *فصلنامه فضای جغرافیایی*، شماره‌ی ۲۵، صص ۱۸-۲۹.
- اداره کل هواشناسی استان آذربایجان شرقی، (۱۳۸۷)، داده‌های ماهانه عناصر اقلیمی طی سال‌های ۲۰۰۷-۱۹۸۷.
- حیدری نبی، مهران (۱۳۸۶)، «برآورد تابش روزانه خورشید با استفاده از متغیرهای هواشناسی (مقایسه یافته‌های شبکه‌های عصبی مصنوعی با سایر مدل‌ها)»، پایان نامه کارشناسی ارشد، دانشکده مهندسی آب و خاک، دانشگاه تخلیلی، علی، رضایی، صدر (۱۳۷۶)، «برآورد تابش کلی خورشید در گستره ایران بر مبنای داده‌های اقلیمی»، *فصلنامه تحقیقات جغرافیایی*، صص ۳۵-۱۵.
- صفائی، بتول؛ خلجمی اسدی، مرتضی؛ تقی زاده، حبیب؛ جیلاوی، افسانه؛ طالقانی، گیتی؛ دانش، ماندانا (۱۳۸۴)، «برآورد پتانسیل تابش خورشیدی در ایران و تهییه اطلس تابشی آن»، *مجله علوم و فنون هسته‌ای*، شماره ۳۳، صص ۳۴-۲۷.
- علیزاده، امین؛ خلیلی، نجمه (۱۳۸۸)، «تعیین ضرایب معادله آنگسترم و توسعه یک معادله رگرسیونی برآورد تابش خورشیدی (مطالعه موردی: منطقه مشهد)»، *مجله آب و خاک (علوم و صنایع کشاورزی)*، شماره ۱، صص ۲۳۸-۲۲۹.
- قویدل حیدری، ی (۱۳۸۵)، «بررسی توان بالقوه انرژی خورشیدی در استان سیستان و بلوچستان»، پایان نامه کارشناسی ارشد، دانشگاه سیستان و بلوچستان.
- کاویانی، محمد رضا؛ علیجانی، بهلول (۱۳۷۹)، «مبانی آب و هواشناسی»، تهران، انتشارات سمت.
- مرادی، اسحق (۱۳۸۵)، «تهییه اطلس تابش خورشیدی ایران با استفاده از تصاویر ماهواره Meteosat»، رساله دکتری، دانشگاه تربیت معلم (خوارزمی) تهران.
- مهدوی، مسعود؛ طاهرخانی، مهدی (۱۳۸۵)، «کاربرد آمار در جغرافیا»، تهران، انتشارات نشر قومس.

- Allen G. Richard, Ricardo Trezza, Masahiro Tasumi, (2006), "Analytical integrated functions for daily solar radiation on slopes", *Agricultural and Forest Meteorology*, 139: 55-73.
- Angstrom A, (1924), "Solar and terrestrial radiation", *Quart J Roy Meteor Soc*, 41: 50-121.
- Daneshyar M. (1978), "Solar Radiation Statistics for Iran". *Solar Energy* ,21:345-9.

- Duguay, C.R, (1993), "Radition modeling in mountainous terrain review and status", "**Mountain Res.** Dev, 13: 339-357.
- El-Sebaii.A. A and Trabea.A. A, (2005), "Estimation of Global Solar Radiation on Horizontal Surfaces over Egypt", **Egypt. J. Solids**, 28 (1):129-136.
- Olseth, J.A, Skartveit, A. Zou, H. (1995). "Spatially continuous mapping of solar resources in a complex high latitude topography", **Solar Energy**, 55(6): 475- 485.
- Page JK. (1964), "The estimation of monthly mean values of daily total short wave radiation on vertical and inclined surfaces from sunshine records for latitude 40 ON-40 OS," In: Proceedings of UN Conference on New Sources of Energy.
- Prescott JA, (1940), "Evaporation from a water surface in relation to solar radiation", **Trans Roy Soc South Austr**,29: 64-114.
- Ramachandra.T. V, (2007), "Solar energy potential assessment using GIS", Energy Education Science and Technology Volume(issue) 18(2): 101-114.
- Samimi, J, (1994), "Estimation of height-dependent solar irradiation and application to the Solar climate of Iran", **Solar Energy**, 52: 401-409.
- Sozen Adnan, Erol Arcaklio, Mehmet Ozalp, (2004), "Estimation of solar potential in Turkey by artificial neural networks using meteorological and geographical data", **Energy Conversion and Management**, 45: 3033–3052.